



## بررسی رشد بلورهای مونازیت و تامین عناصر خاکی نادر از کانی آپاتیت: مطالعه موردی در کانسار آهن-آپاتیت اسفوردی (شمال شرق بافق)

سara ایران منش<sup>\*</sup>, ابراهیم طالع فاضل<sup>۱</sup>, محمد رضا هزاره<sup>۱</sup>, افشین مجیدی<sup>۱</sup>

۱- پژوهشکده علوم زمین، سازمان زمین‌شناسی و اکتشافات معدنی کشور

۲- گروه آموزشی زمین‌شناسی، دانشکده علوم پایه، دانشگاه بولوی سینا همدان

(دریافت مقاله: ۹۷/۸/۲، نسخه نهایی: ۹۷/۱۱/۷)

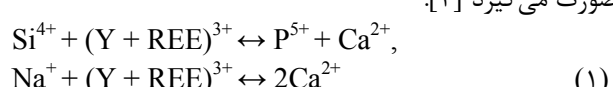
**چکیده:** کانسار اسفوردی واقع در شمال شرق بافق و از مهمترین کانسارهای مگنتیت-آپاتیت در منطقه بوده که دارای کانه‌های عناصر خاکی نادر (REE Minerals) است. در این میان، کانی آپاتیت از نظر دارا بودن بودجه عنصری (بویژه REE)، پایداری در شرایط مختلف دما و فشار و تبادلهای یونی در شرایط محیطی جدید، اهمیت دارد. همه این ویژگی‌ها باعث شده است تا کانی آپاتیت در طی دگرسانی گرمابی، رفتار ویژه‌ای در هستکرزایی کانی مونازیت داشته باشد. بر پایه بررسی‌های سنگ نگاری و زمین‌شیمیایی، چهار نسل آپاتیت در این کانسار شناسایی شده که در هر نسل، مقدار عنصری با کاهش مقادیر عناصر خاکی نادر کل ( $\Sigma$ REE) و افزایش عناصری چون Ca و P همراه است. در مقابل، افزایش مقدار REE, Na, F و تاحدی Cl درون سیال گرمابی سبب هستکرزایی و رخداد دو نسل مونازیت شده است. بر اساس تصاویر الکترونی پس پراکنده (BSE)، مناطق تهی شده از عناصر Na, Si و REE در آپاتیت منطبق بر کانال‌های میکرونی، منافذ و ریزشکستگی‌هایی بوده که ادخال‌های مونازیت در آن شکل گرفته است. تشکیل مونازیت نسل اول و انحلال بعدی آن سبب تشکیل مونازیت‌های بین بلوری نسل دوم شده است.

**واژه‌های کلیدی:** آپاتیت؛ مونازیت؛ عناصر خاکی نادر؛ کانسار آهن-آپاتیت اسفوردی؛ دگرسانی گرمابی.

کانی آپاتیت در اثر سیال‌های  $\text{CaCl}_2$ ,  $\text{NaCl}$ ,  $\text{H}_2\text{O}$  و  $\text{CaCl}_2$ ,  $\text{KCl}$ ,  $\text{NaCl}$  نیز انواع آبگین در بردارنده  $\text{CO}_2$ ,  $\text{HCl}$ ,  $\text{H}_2\text{SO}_4$  و  $\text{F}^-$  دچار دگرسانی شیمیایی می‌شود. طی این دگرسانی، وجود کمتر از یکدهم درصد وزنی از عناصر خاکی نادر درون شبکه بلوری آپاتیت می‌تواند بودجه عنصری مورد نیاز برای تشکیل کانی‌های مونازیت،  $(\text{Ce}, \text{LREE}, \text{Th})\text{PO}_4$  و زنوتایم،  $(\text{Y}, \text{HREE}, \text{Th})\text{PO}_4$ , را فراهم کند [۳]. بر پایه آزمایش‌های صورت گرفته توسط هارلو و همکاران [۳], چنین کانی‌هایی در شرایط مختلف دما، فشار و ترکیب سیال و آپاتیت، می‌توانند در درون یا سطح آپاتیت در نتیجه انتقال جرمی بین سیال دگرسان کننده با آن بدون نیاز به منبع دیگری از عناصر خاکی نادر به وجود آیند. کانسار آهن-آپاتیت اسفوردی واقع در

### مقدمه

یکی از ویژگی‌های مهندسی آپاتیت تبادل‌های یونی درون شبکه بلوری و بصورت محلول جامد از عناصر مختلف است. برای مثال در جایگاه هالوژن‌ها  $\text{CO}_3^{2-}$  یا  $\text{O}^{2-}$ , در جایگاه کلسیم عناصر Sr, Ba, Pb و Na و در جایگاه  $\text{CO}_3^{2-}$ ,  $\text{HPO}_4^{2-}$ ,  $\text{AsO}_4^{3-}$ ,  $\text{VO}_4^{3-}$ ,  $\text{SiO}_4^{4-}$  و  $\text{P}^{5+}$  در آپاتیت‌ها می‌توانند جانشین شوند [۱]. نکته مهم دیگر در آپاتیت‌ها پیرامون جانشینی عناصر خاکی نادر (REE) در شبکه بلوری آن‌هاست. جایگیری عناصر خاکی نادر در اثر دو واکنش زیر صورت می‌گیرد [۲]:



قرارگیری پهنه کانه‌دار، شامل پنج توالی سنگی فرودیواره، پهنه کانه‌دار، سنگ میزبان، فرادیواره و واحدهای نفوذی است. این توالی از قاعده به سمت راس به ترتیب شامل ماسه‌سنگ و شیل، سنگ آهک، توفهای ریولیتی جوش خورده، پهنه کانه‌دار عدسی شکل (شامل نوارهای اکسید آهن و آپاتیت)، توفهای ریولیتی جوش خورده و انواع ماسه‌سنگی به همراه گتدهای ریولیتی و واحدهای بازالتی است. توالی پهنه کانه‌دار اسفوردی از قاعده به سمت بالا شامل توفهای ریولیتی جوش خورده، پهنه آهن‌دار، افق اصلی آپاتیت و سنگ میزبان دگرسان شده کلسیم-آمفیبول است که در آن فراوانی بلورهای آپاتیت به تدریج افزایش می‌یابد (شکل ۲). برشی‌شدن و گسلش در هر دو پهنه کانه‌دار مشهود بوده و بیشتر دگرسانی‌ها، هوازدگی و پراکندگی کانه‌ها وابسته به نواحی برشی شده و مرز بین دو واحد نام برده است. برپایه بررسی‌های صحرایی، بطور کلی رخنمون پهنه کانه‌دار در چهار بخش شامل (۱) پهنه کانه‌دار عدسی شکل دارای مگنتیت و آپاتیت، (۲) افق اصلی آپاتیت، (۳) نواحی دارای رگهای پراکنده از آپاتیت‌های ریزبلور و (۴) سنگ میزبان دگرسان شده کلسیم-آمفیبول دربردارنده رگچه‌های مگنتیت و هماتیت؛ نمود دارد (شکل ۳).

۳۵ کیلومتری شمال‌شرق بافق (۱۵۵ کیلومتری مرکز استان بیزد) به عنوان غنی‌ترین ذخیره فسفات در ایران دارای پتانسیل بالایی از عناصر خاکی نادر (۱/۵ تا ۲ درصد وزنی) است که آپاتیت به عنوان میزبان اصلی این عناصر محسوب می‌شود. نتایج تجزیه دستگاهی به روش‌های طیفسنجی جرمی پلاسمای جفت شده القایی (ICP-MS) و تجزیه نقطه‌ای به روش ریزپردازش الکترونی (EMPA) آپاتیت‌های اسفوردی در جدول‌های ۱ و ۲، آورده شده است. بطور کلی آپاتیت‌ها با بافت و ساختهای توده‌ای، برشی، رگه-رگچه‌ای و پراکنده در سنگ میزبان در همراهی و ارتباط با کانه‌های خاکی نادر چون مونازیت و آلانیت نمود دارند. در این مقاله، ضمن توصیف کانی‌شناسی آپاتیت‌ها، چگونگی تبادلهای جرمی آن‌ها طی رخداد دگرسانی و چگونگی شکل‌گیری کانه‌های خاکی نادر مرتبط بررسی می‌شود.

#### زمین‌شناسی کانسار

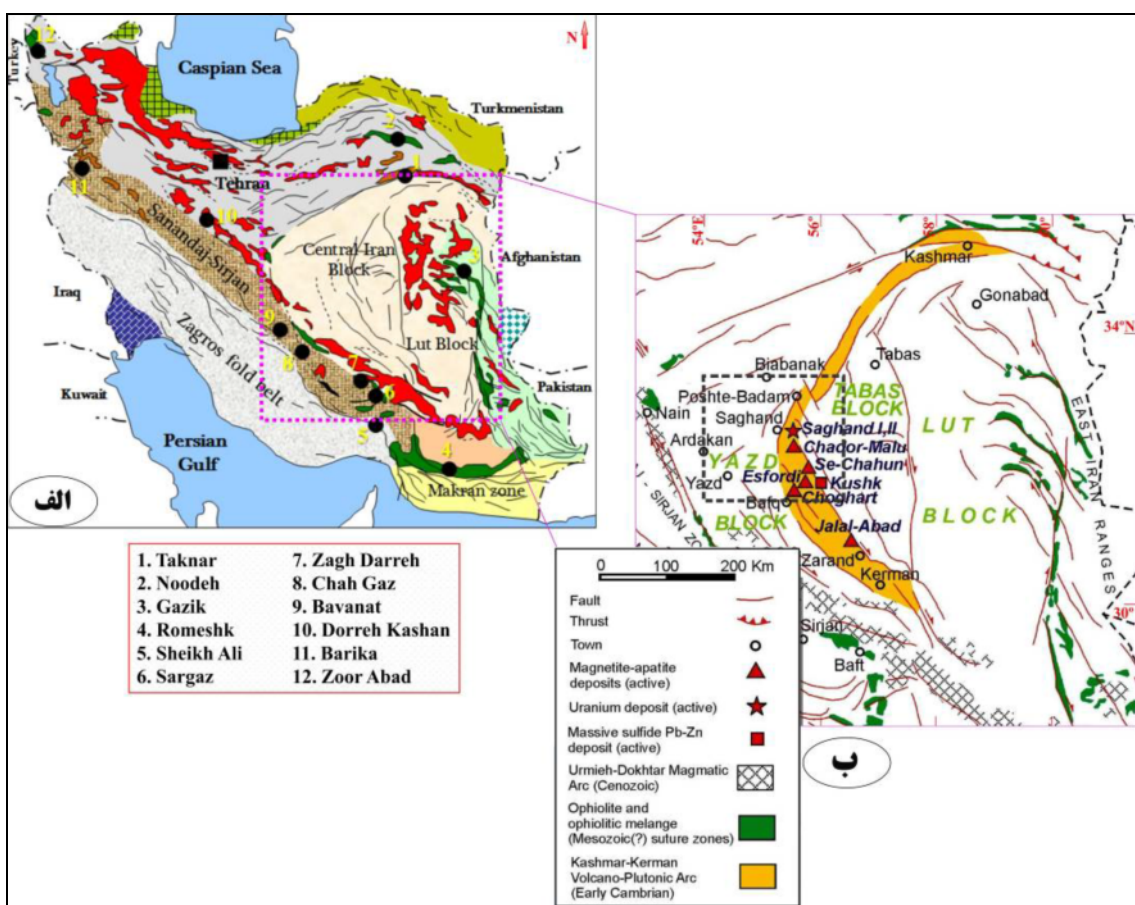
کانسار اسفوردی میزبان توالی واحد آتشفسانی-رسوبی کامبرین (CVSU) تشکیل شده و در کمریند فلززایی کاشمر-کرمان واقع است (شکل ۱). واحدهای زمین‌شناسی بر حسب جایگاه

جدول ۱ نتایج تجزیه دستگاهی آپاتیت‌های نسل دوم و سوم به روش ICP-MS. داده‌ها بر حسب میانگین مقادیر هستند.

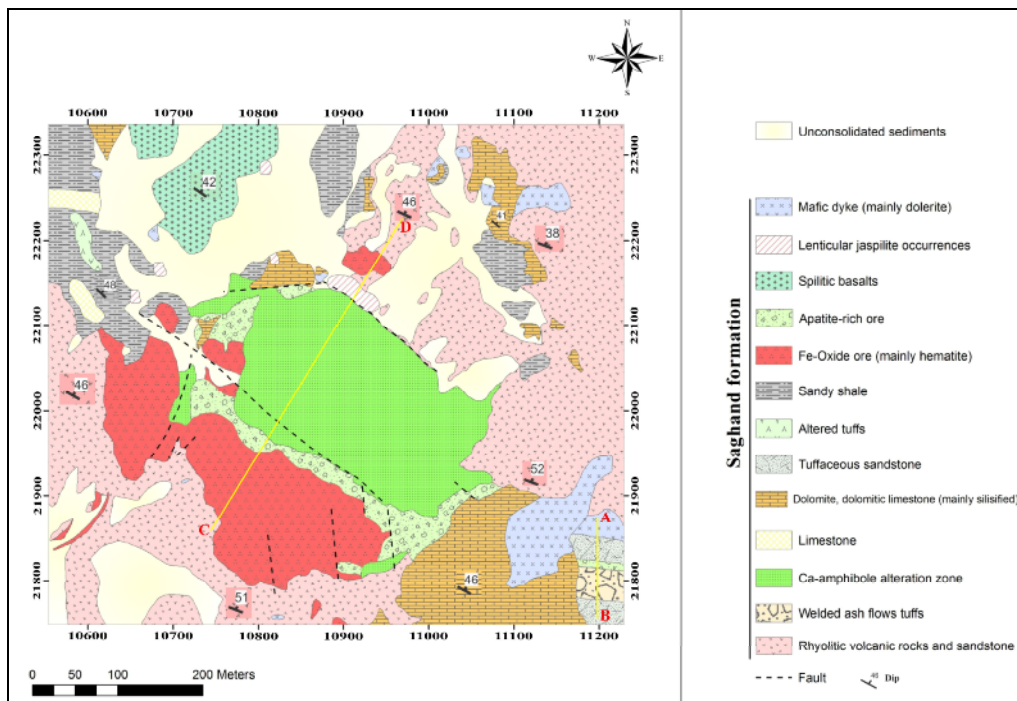
	ppm	عناصر	ppm	عناصر	ppm
$\Sigma$ REE	۱۱۵۸۱,۳۰	Ho	۴۹,۹	La	۳۹۲۸
$\Sigma$ LREE	۱۰۴۰۶	Er	۱۲۷	Ce	>۲۰۰۰
$\Sigma$ MREE	۸۵۵,۸۰	Tm	۱۹,۳	Pr	۸۲۵
$\Sigma$ HREE	۳۱۹,۵۰	Yb	۱۰,۲	Nd	۳۱۹۱
LREE/HREE	۳۲,۵۷	Lu	۱۱,۳	Sm	۴۶۲
		Y	>۱...	Eu	۴۴,۴
		Th	۱۰,۷	Gd	۴۵۷
		U	۱۶,۸	Tb	۵۸,۴
		Th/U	۶,۳۷	Dy	۲۹۶

جدول ۲ غلظت عناصر اصلی و برخی عناصر کمیاب در آپاتیت‌های نسل دوم (2nd) و سوم (3rd) با استفاده از روش EMPA.

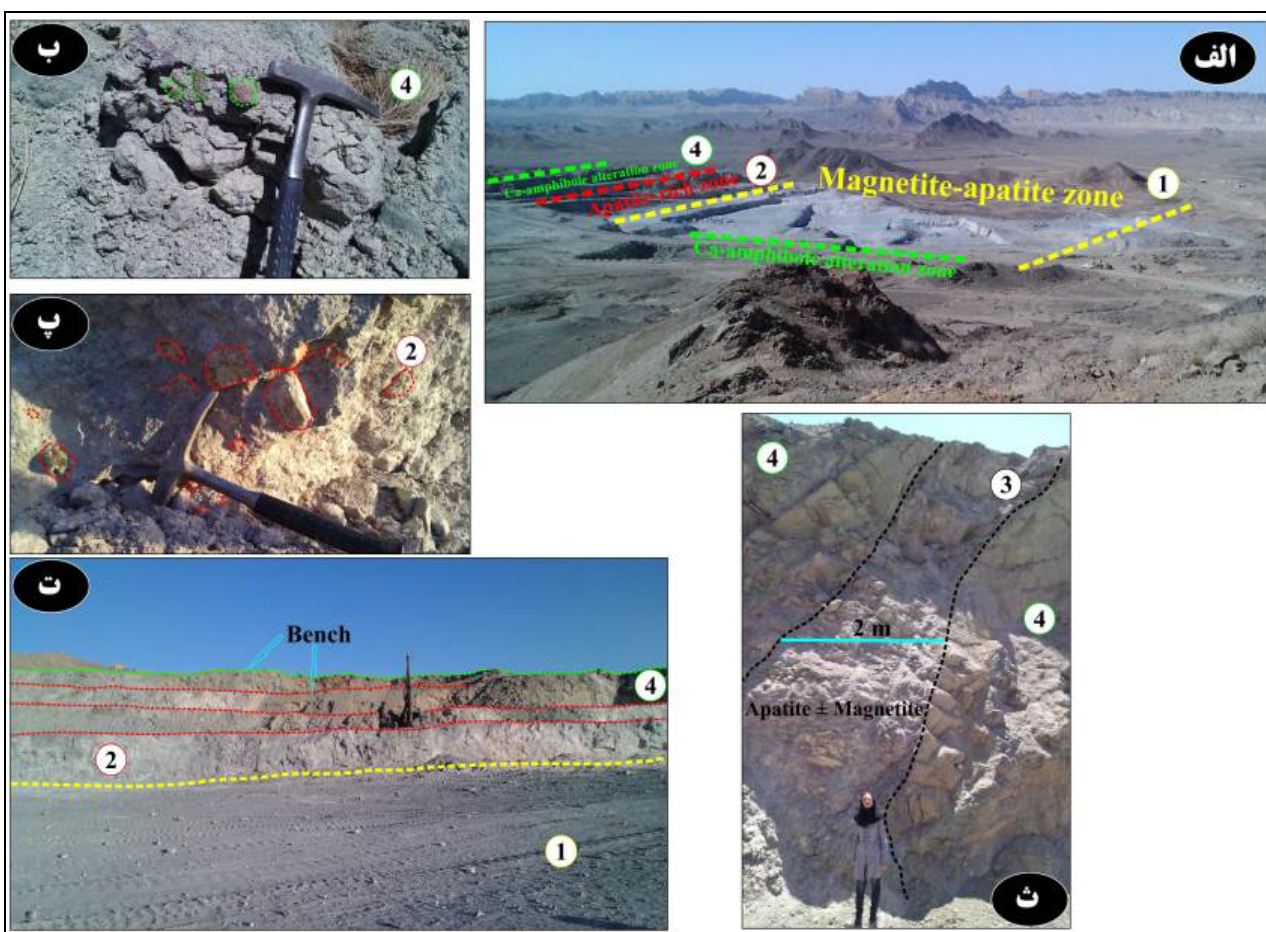
عناصر	Wt.% (2 <sup>nd</sup> )	Wt.% (3 <sup>rd</sup> )	عناصر	Wt.% (2 <sup>nd</sup> )	Wt.% (3 <sup>rd</sup> )	عناصر	Wt.% (2 <sup>nd</sup> )	Wt.% (3 <sup>rd</sup> )
ZrO <sub>2</sub>	۰,۰۱	۰,۰۱	MgO	۰,۲۴	۸,۲۴	SiO <sub>2</sub>	۰,۰۹	۱۱,۴۸
V <sub>2</sub> O <sub>3</sub>	۰,۱۶	۰,۰۷	CaO	۳۴,۴۳	۳۰,۲۴	TiO <sub>2</sub>	۰,۵۳	۰,۰۳
F	۱,۱۷	۰,۴۶	Na <sub>2</sub> O	۰,۰۸	۰,۱۶	Al <sub>2</sub> O <sub>3</sub>	۰,۰۸	۰,۰۴
			K <sub>2</sub> O	۰,۰۱	۰,۰۲	FeO	۲۲,۰۹	۲۳,۱۵
			P <sub>2</sub> O <sub>5</sub>	۲۷,۹۲	۱۰,۴۰	MnO	۰,۰۱	۰,۲۰



شکل ۱ (الف) نقشه ساده شده پهنه‌های ساختاری ایران [۴] و (ب) نقشه ساختاری ایران مرکزی و کمرنگ فلزاتی کاشمر-کرمان که کانسار آهن-آپاتیت در مرکز آن قرار دارد (برگرفته از مراجع [۶،۵]).



شکل ۲ نقشه زمین‌شناسی کانسار اسفوردي؛ سازند ساغند به سن نئوپروتوزوئيك و رسوب‌های پوشاننده واحدها به سن کواترنري هستند (برگرفته از مرجع [۷]).



شکل ۳ رخمنوهای متفاوت پهنه کانه‌دار؛ (الف) تقسیم‌بندی پهنه کانه‌دار بر اساس چگونگی رخمنون پهنه‌های کانه‌دار (دید به سمت جنوب)، (ب) بلورهای آپاتیت در پهنه شماره ۴، (پ) بلورهای درشت آپاتیت در پهنه شماره ۲، (ت) پله‌های گودال معدن و رخمنون پهنه‌ها در بخش معدن‌کاری شده (دید به سمت شرق) و (ث) رگه‌های آپاتیت و مگنتیت در پله‌های شرقی گودال معدن.

شده و سپس بلورهای آپاتیت با ولتاژ ۲۰ کیلو ولت و شدت جریان پرتوی الکترونی برابر با  $2 \times 10^{-8}$  نانوآمپر تجزیه شدند. پس از تجزیه دستگاهی بلورهای آپاتیت، از تعدادی از مقاطع نازک صیقلی تصاویر الکترونی پس پراکنده (BSE) تهیه و در آن‌ها روابط بین بلوری کانه‌ها در مرکز تحقیقات و فرآوری مواد معدنی ایران بررسی شد. جهت بررسی رابطه آپاتیتها و ادخال‌های موجود در آن‌ها، افزون بر انجام تجزیه‌های نقطه‌ای روشی و تهیه نقشه‌های شیمی‌کانی از تصاویر میکروسکوپ الکترونی روشی (SEM) و طیف پراش انرژی پرتو X (EDX) استفاده شد. برای این کار، مقاطع نازک صیقلی با عنصر طلا پوشش داده شدند. این آزمایش در سازمان زمین‌شناسی کرج و توسط دستگاه مدل ZIGMA/NP با ولتاژ ۱۵ kV صورت گرفت. حد حساسیت دستگاهی در این روش برابر با  $0.1\%$  درصد وزنی بوده است.

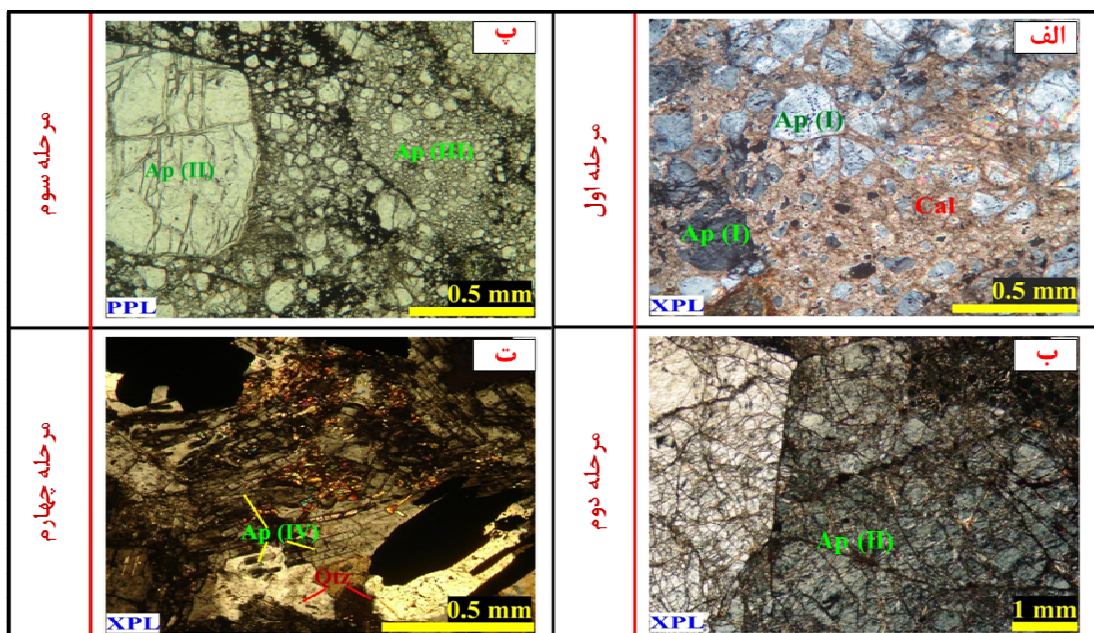
#### روش بررسی

به منظور پژوهش پیرامون آپاتیتهای کانسار اسفوردی و چگونگی پراکندگی آن‌ها در منطقه، نخست بررسی‌های زمین‌شناسی بر توالی سنگی منطقه صورت گرفت و سپس براساس شناسایی نواحی کانه‌دار، از آپاتیتهای وابسته به پهنه‌های برشی، رگه‌ها و نیز انواع توده‌ای آن‌ها نمونه‌برداری شد. جهت بررسی‌های میکروسکوپی، ۱۲ مقطع نازک و نازک صیقلی در سازمان زمین‌شناسی تهران تهیه شد. بلورهای آپاتیت به منظور انجام آزمایش‌های تجزیه دستگاهی ICP-MS نیز آماده شدند. تجزیه به روش ICP-MS در سازمان زمین‌شناسی کرج با حد آشکارسازی  $0.01\text{ ppm}$  تا  $2000\text{ ppm}$  برای عناصر کمیاب و خاکی نادر انجام شد. تجزیه نقطه‌ای EMPA نیز در مرکز تحقیقات و فرآوری مواد معدنی ایران توسط دستگاه Cameca SX100 صورت گرفت. برای این منظور، نخست مقاطع نازک صیقلی پوشش کربنی داده

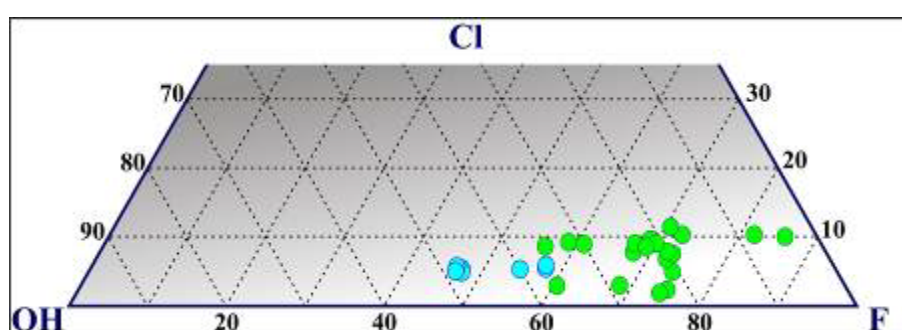
دوم شامل درشت بلورهای برشی شده بوده و نسل سوم برآمده از انحلال دو نسل پیشین است. نسل چهارم آپاتیت نیز بیشتر طی دگرسانی‌ها (بویژه دگرسانی سیلیسی) بصورت ادخال دربرگرفته شده‌اند. نتایج تجزیه دستگاهی نقطه‌ای نزدیک به ۳۰ مورد از آپاتیت‌های منطقه بیانگر غنی شدگی نسبی از عنصر فلور (بین ۰,۵۶ تا ۱/۱ درصدوزنی) است. مقدار هیدروکسید از ۰/۱۷ تا ۰/۹ درصدوزنی متفاوت بوده و کلر نیز در کمترین میزان مشارکت در ساختار بلوری بین ۰/۰۱۵ تا ۰/۱ درصدوزنی متغیر است. بر پایه نمودار مثلثی OH-F-Cl (شکل ۵) می‌توان آنها را نام هیدروکسی‌فلور آپاتیت نامید [۸].

### کانی‌شناسی آپاتیت

ساخته‌های توهدایی، برشی، رگه‌رگچه‌ای و پراکنده از انواع متداویل بروند آپاتیتها در منطقه اسفوردی هستند. بلورهای آپاتیت در ظاهر اغلب در یک راستا، بصورت منشوری، به رنگ صورتی تا عسلی و پرکننده فضاهای خالی موجود در سنگ میزبان هستند. آنها از نظر اندازه بلوری نیز از بسیار ریز بلور (چند میلی‌متر) تا انواع درشت بلور (تا ۱۰ سانتی‌متر) دیده می‌شوند. براساس بررسی‌های میکروسکوپی، ۴ نسل آپاتیت قابل شناسایی است (شکل ۴). نسل اول اغلب به کلسیت تجزیه شده و دارای بیشترین مقدار میانبار سیال و ادخال است. نسل



شکل ۴ نسل‌بندی آپاتیتها در بررسی‌های میکروسکوپی نور عبوری: مرحله اول مربوط به فرآیندهای ماقمایی-گرمایی و تجزیه کربناتی بلورها، مراحل دوم و سوم مربوط به برشی شدن و مرحله آخر نیز وابسته به رگچه‌های تاخیری و ایجاد دگرسانی کلسیت-هماتیت و کوارتز هستند. بجز مورد پ همه تصاویر در نور متقاطع تهیه شده‌اند. (Ap: آپاتیت، Cal: کلسیت و Qtz: کوارتز).



شکل ۵ نمودار مثلثی OH-F-Cl مربوط به آپاتیتها کانسار اسفوردی. داده‌ها برگرفته از مرجع [۹] (دایره‌های سبزرنگ) و [۱۰] (دوایر آبی) هستند.

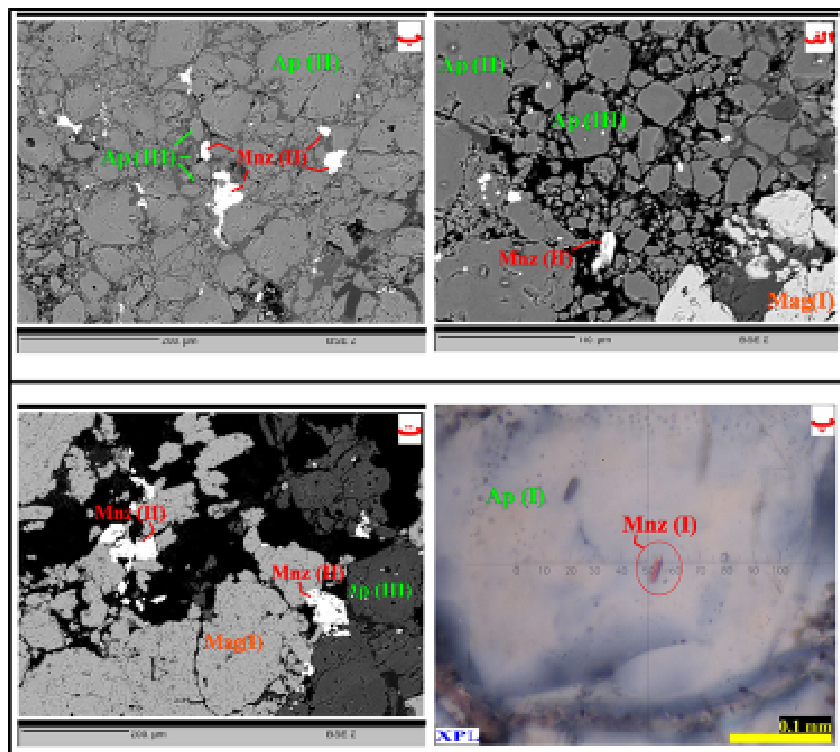
درون یا بر سطح کانی آپاتیت در نتیجه انتقال جرمی بین سیال دگرسان کننده با بلور بوجود بیایند. توانایی آپاتیت برای تولید چنین فازهای کانیایی به چهار عامل بستگی دارد: ۱) مقدار عناصر خاکی نادر در آپاتیت، ۲) ترکیب کلی آپاتیت، ۳) دما و فشار طی واکنش‌های سیال با کانی و ۴) ترکیب سیال دگرسان کننده [۱۱]. هریک از این عوامل تعیین کننده چگونگی جانشینی، تولید هستک‌های اولیه کانی‌ها و یا تهی و غنی‌شدگی از عناصر خاکی نادر درون آپاتیت‌هاست. شرط مهم و اساسی برای تشکیل هستک‌ها تبادلهای جرمی بین سیال و کانی (برای مثال ورود کلر، گوگرد، سدیم و سیلیسیم به درون سیال) و آزادسازی عناصر خاکی نادر بدون جابجایی آن‌هاست. دما عامل تعیین کننده موقعیت مکانی تشکیل هستک‌های مونازیت یا زنوتاییم است. هستک‌ها در شرایط دما بالا، درون بلور آپاتیت و در شرایط دما پایین در سطح کانی رشد می‌کنند. گستره دما و فشار برای چنین پدیده‌ای ۹۰۰–۳۰۰ درجه سانتی‌گراد و ۱۰۰۰–۵۰۰ مگاپاسکال بوده هرچند در محیط‌های زمین شناسی در شرایط دما و فشاری خارج از این گستره نیز دیده شده است [۱۱].

### کانی‌شناسی مونازیت

در کانسار اسفوردی کانی‌های خاکی نادر را می‌توان در سه گروه فسفات (آپاتیت، مونازیت و زنوتاییم)، کربنات (آلانیت و بریتولیت) و سیلیکات (سینکسایت و باستنازیت) تقسیم نمود و بیشترین حجم بلوری و پراکندگی آن‌ها مربوط به نواحی دارای شکستگی و برشی شده در سنگ میزبان است. کانه مونازیت،  $(Ce,La,Nd,Th,Y,Dy,Sm)(PO_4)$  در پهنه کانه‌دار (نوار عدسی شکل آهن-آپاتیت) دارد. بلورهای مونازیت بیشتر بصورت بین‌بلوری و ادخال دیده می‌شوند. رشد بلوری مونازیت نسبت به سایر کانه‌های خاکی نادر بیشتر است. مونازیت‌های نسل اول بصورت ادخال در آپاتیت‌های نسل اول دیده می‌شوند. بلورهای این نسل بیشتر شفاف و دارای رنگ سبز تا زردکمرنگ با برجستگی شدید هستند. مونازیت‌های نسل دوم دارای اندازه بزرگ‌تر و فراوانی بیشتر هستند و بیشترین اباشتگی را در مرز بین واحدها بویژه در قسمت‌های به شدت برشی شده دارند (شکل ۶). این کانی بیشترین همراهی را با بلورهای آپاتیت دارد و اندازه بلوری آن‌ها به سمت فرادیواره افزایش یافته است.

### شیمی بلور آپاتیت

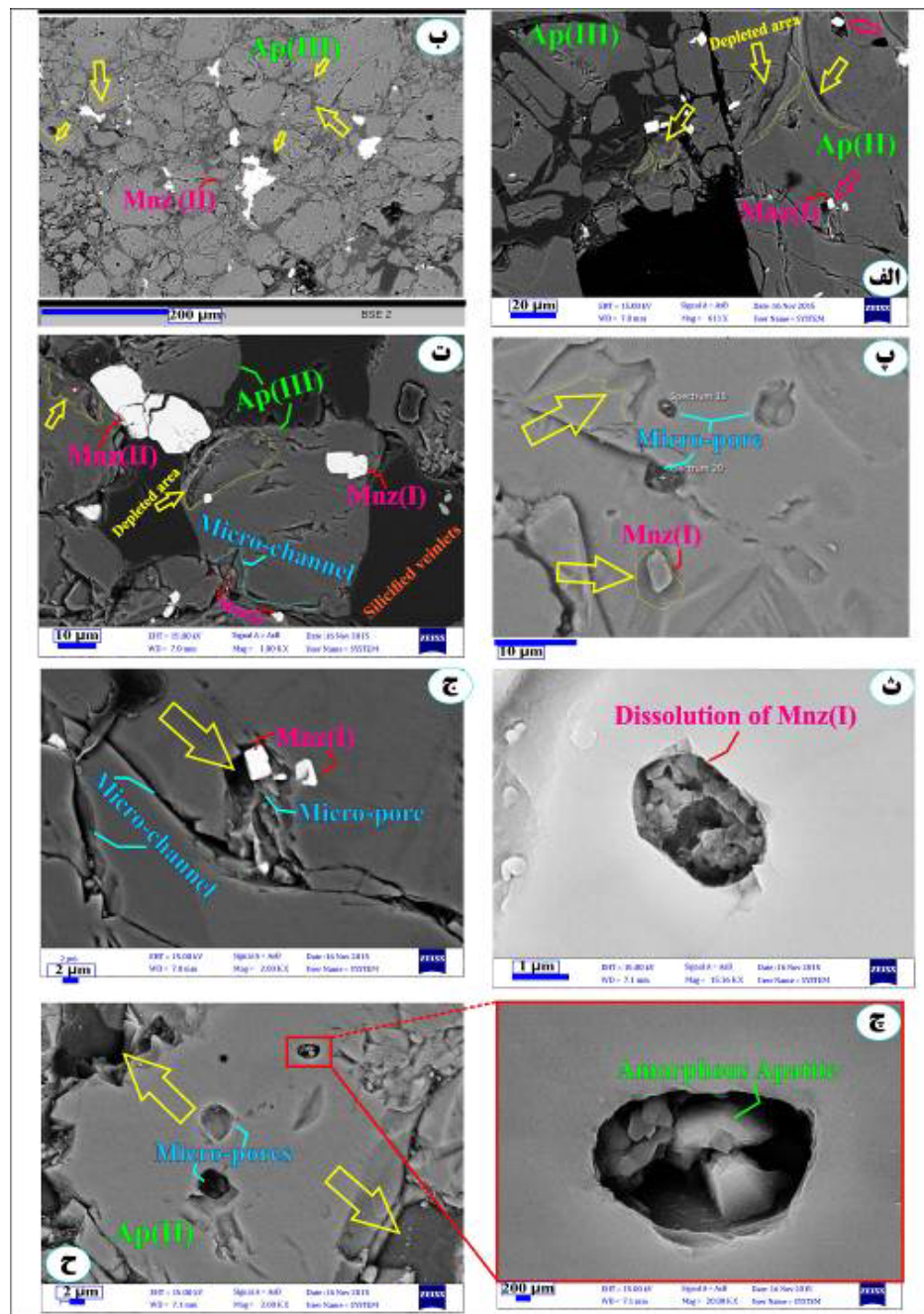
چنان که گفته شد کانی‌هایی چون مونازیت و زنوتاییم می‌توانند



شکل ۶ کانه‌های مونازیت در کانسار اسفوردی: (الف، ب و ت) تصاویر BSE از مقاطع نازک صیقلی مربوط به نواحی برشی توده‌های آپاتیت-مگنتیت پهنه آهن‌دار. مونازیت‌های نسل اول بصورت ادخال در آپاتیت نسل اول (مانند تصویر پ در نور متقاطع) و مونازیت‌های نسل دوم بصورت درشت و بین‌بلوری هستند. (Ap: آپاتیت، Mnz: مونازیت و Mag: مگنتیت).

نادر که هنوز در ساختار شبکه جای دارند، طیف رنگی روشن‌تری را نسبت به نواحی تهی شده از این عناصر نشان می‌دهند. در کانسار اسفوردی، بلورهای آپاتیت وابسته به پهنه برشی بیشترین میزان واکنش و تهی‌شدگی از عناصر نادر را نسبت به سایر نقاط از خود نشان داده‌اند (شکل ۷).

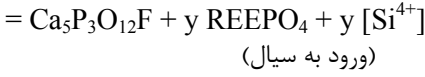
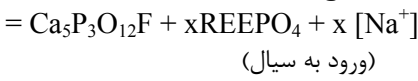
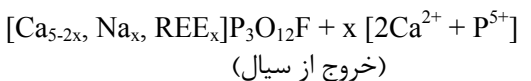
در تصاویر BSE بلورهای آپاتیت، نواحی واکنشی و غیرواکنشی قابل تفکیک از هم هستند (شکل ۷). در این تصاویر، عناصر با وزن اتمی بالاتر بیشترین الکترون بازگشتی را دارند و رنگ روشن‌تری را بوجود می‌آورند؛ این امر تاکنون ابزار مناسبی برای بررسی بلورهای آپاتیت بوده است. در این تصاویر، نواحی بلورهای آپاتیت که در آن واکنش صورت نگرفته و عناصر خاکی



شکل ۷ تصاویر میکروسکوپ الکترونی روبشی (SEM) از ارتباط فضایی بلورهای آپاتیت و مونازیت در اثر محلول‌های دگرسان کننده در کانسار اسفوردی. نشان‌گرهای زردرنگ، نواحی تیره آپاتیت‌ها که از عناصر خاکی نادر تهی شده‌اند را نشان می‌دهند و نشان‌گرهای صورتی به تشکیل بلورهای مونازیت در میکروخفره‌ها اشاره دارند.

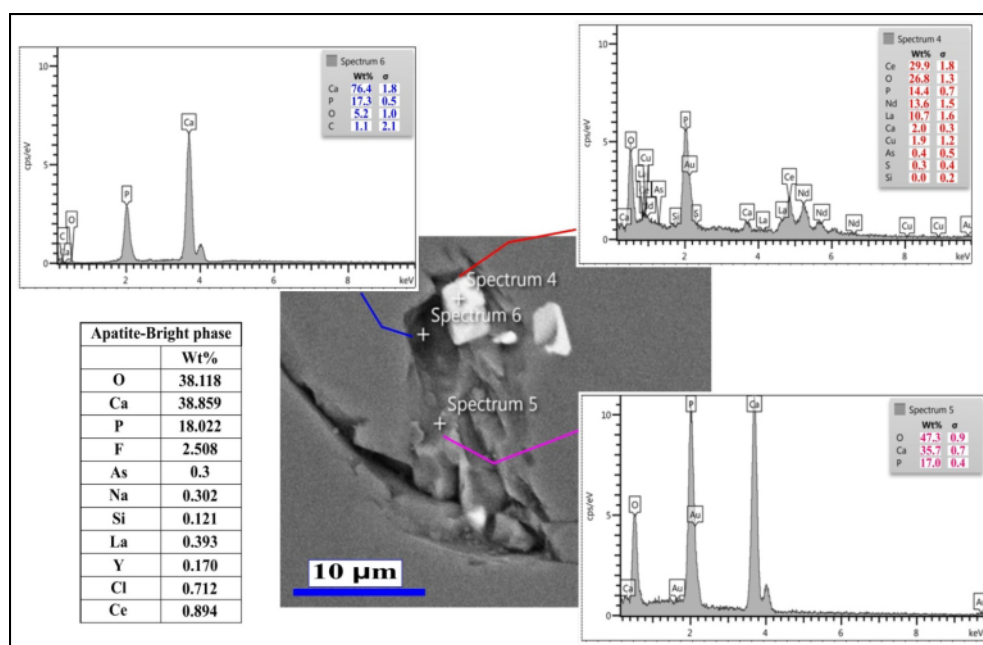
بوجود آمده‌اند. نانو- و یا میکرو- مجراهای و منافذ بوجود آمده سبب سهولت در تبادلهای جرمی و سرعت بخشیدن به فرآیندهای بین سیال واکنش‌دهنده و آپاتیت (در طی چند ساعت تا چند روز) می‌شوند. همچنین، این حفره‌ها جایگاه‌های مناسبی برای هستکزایی و رشد بعدی ادخال‌های مونازیت هستند [۱۲] (شکل ۸). بطور کلی، نواحی واکنشی آپاتیت‌ها با سیال‌های درگیر و فرآیندهای همزمان احلال و تمثیلینی مربوط به ناهمگونی سطوح بلوری بین نواحی روشن و تیره و در بی آن ایجاد منافذ در نواحی واکنشی است [۱۳]. با تاثیر دگرسانی بر آپاتیت طی واکنش‌های (۲) و (۳)، عناصر Na و Si بطور ترجیحی از ساختار بلوری جدا و وارد سیال می‌گردند. خروج این عناصر از شبکه سبب آزادسازی عناصر خاکی نادر می‌شود و هستکزایی هنگامی رخ می‌دهد که میزان آزادسازی بیشتر و انباستگی عناصر خاکی نادر به حد مورد نیاز برسد.

[۱۳]



در آپاتیت‌های درشت‌بلور (نوع نسل اول و دوم)، نواحی تیره در راستای شکستگی‌های بلوری، سطوح تورق و نیز لبه بلوری دیده شد. وجود نواحی تیره در راستای شکستگی‌ها بیانگر رخداد دگرسانی‌ها پس از مرحله برشی‌شدن و اثر نیروهای زمین ساختی هستند. بنابراین بنظر می‌رسد که برشی‌شدن سبب ایجاد مجاری مناسبی برای عبور محلول‌ها شده است. این در حالی است که در آپاتیت‌های نسل سوم، شکستگی در بدنه بلوری کاهش یافته و بیشتر نواحی واکنشی با سیال‌های گرمابی به لبه‌های بلورهای این نسل محدود شده است. چگونگی توزیع پراکندگی کانه‌های فسفاتی خاکی نادر بوبه مونازیت‌ها که بیشترین فراوانی و ارتباط را با بلورهای آپاتیت دارند، با نواحی تیره و تهی شده از عناصر خاکی نادر رابطه مستقیم دارد. در بررسی سطح بلورهای آپاتیت کانه زنوتایم به شکل ادخال یافت شد.

در بررسی‌های انجام شده براساس تصاویر SEM از سطوح آپاتیت‌ها، حفره‌ها و مجاری توالی بسیاری دیده شد. در این حفره‌ها، بلورهای مونازیت به همراه ذرات بی‌شکل (بیشتر در بردارنده عناصر فسفر و کلسیم) وجود دارند (شکل ۷ ج). بیشتر مونازیت‌ها در بدنه و سطوح آپاتیت‌ها در حفره‌ها و مجاری پراکنده هستند که خود در اثر محلول‌های گرمابی

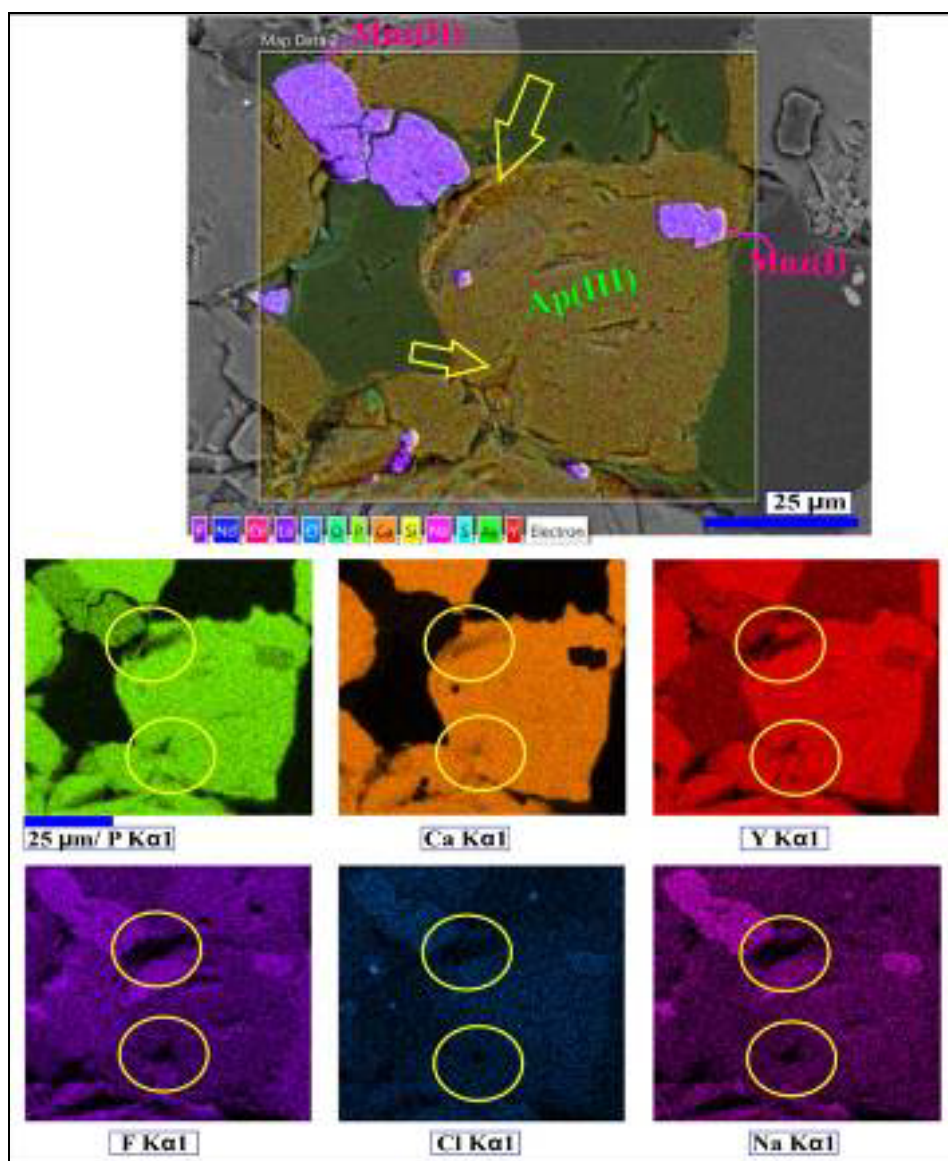


شکل ۸ تصویر SEM و طیف‌های EDS از حفره‌های میکرونی در بلورهای آپاتیت نسل دوم. جدول داده‌های برآمده از تجزیه بلورهای آپاتیت بدون دگرسانی را نشان می‌دهد (داده‌های این جدول برگرفته از مرجع [۴]) است. طیف چهارم از کانه مونازیت و طیف‌های پنجم و ششم مربوط به نواحی تیره شستشو یافته هستند.

زیر حد تشخیص بوده و اغلب غنی‌شده‌ی از فسفر و کلسیم صورت گرفته است. در شکل ۹، دو ناحیه تهی شده دیده می‌شوند. ناحیه بالایی در لبه بلور آپاتیت و کنار کانه مونازیت نسل دوم قرار دارد و ناحیه پایین وابسته به میکرومجراهای تشکیل شده در لبه همان بلور است. در نقشه شیمی بلور، نواحی تیره مربوط به تهی‌شده‌ی از عناصر فسفر، کلسیم، سدیم، فلور، کلر و ایتریوم هستند.

### شیمی بلور مونازیت

هستکزاری مونازیت‌ها در منافذ بلوری آپاتیت‌های اسفوردی سبب رشد بلورها بصورت نیمه‌شکل‌دار تا خودشکل شده است. مونازیت‌ها در این منافذ جهت‌یافتنی مشخصی ندارند و در برخی موارد به موازات محور C آپاتیت‌ها رشد نموده‌اند. در بلورهای آپاتیت، بیشترین تهی‌شده‌ی در منافذ و مجاري (در کنار بلورهای مونازیت) رخ داده است. بر اساس نتایج تجزیه نقطه‌ای این نواحی، غلظت عناصر خاکی نادر در بیشتر موارد



شکل ۹ نقشه شیمی بلور آپاتیت نسل سوم دارای ادخال کانه مونازیت. نواحی دارای تهی‌شده‌ی از عناصر با نشانگر و دایره‌های زردزنگ نشان داده است.

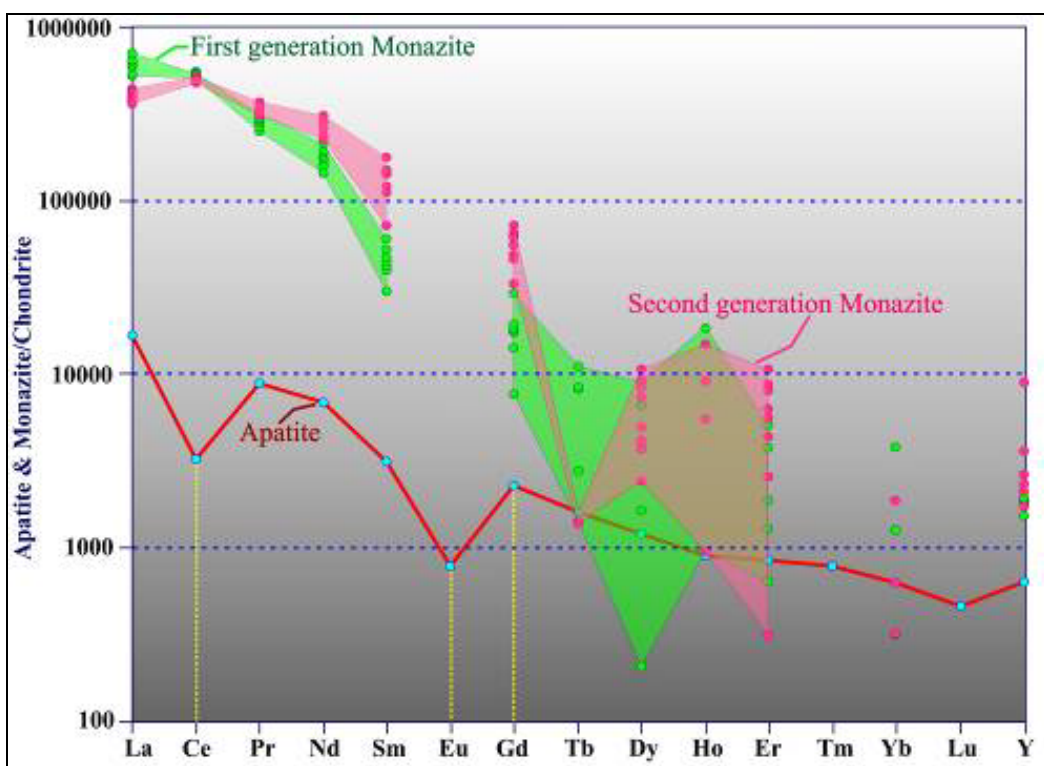
به سبب طبیعت این کانی در عدم پذیرش عناصر با شاعع یونی کوچکتر بوده و در بسیاری موارد، تهی شدگی از این عناصر در ساختار بلوری مشهود است. از طرف دیگر، مونازیت‌های نسل دوم (انواع بین بلوری) نیز الگوی نسبتاً مشابه نسل اول نشان می‌دهند (نوار صورتی در نمودار شکل ۱۰)، با این تفاوت که میزان غنی‌شدگی از عنصر لانتانیوم (La) و تا حدی سریوم کمتر است. این الگو بیانگر تفکیک‌پذیری بیشتر عناصر خاکی نادر سبک در مونازیت‌های نسل اول نسبت به انواع نسل دوم است. این امر را می‌توان به متفاوت بودن میزان نزدیکی کانه‌های مونازیت نسل اول و دوم به منبع تامین عناصر مورد نیاز (بلورهای آپاتیت) و میزان دسترسی به عناصر حل شده از شبکه بلوری کانه میزان نسبت داد.

شباهت الگوی توزیع عناصر خاکی نادر در هر دو نسل کانه‌های مونازیت با آپاتیت قابل تامل بوده و گویای یک خاستگاه مشترک برای تامین عناصر مورد نیاز است. در شکل ۷، جایگاه ادخال کانه مونازیت در آپاتیت نشان داده شده که در اثر شیستشوی بعدی در حضور محلول‌های مسبب دگرسانی از بلور آپاتیت خارج گردیده و منبع تامین عناصر مورد نیاز جهت رشد کانه‌های مونازیت نسل دوم شده است. بنابراین، نسل دوم کانه مونازیت از انحلال و تنهشینی دوباره نسل اول بوجود آمده است. شواهد رخداد این پدیده را می‌توان در سه مورد بررسی کرد: ۱. رشد و گسترش شبکه بلوری کانه‌های مونازیت و زنوتایم بصورت بین بلوری با تحلیل و مصرف ادخال‌های کوچکتر مونازیت و در نتیجه کاهش تعداد ادخال‌ها در نسل‌های بعدی کانی آپاتیت، ۲) رشد بین بلوری مونازیت و زنوتایم با مگنتیت و ۳) گردش بعدی سیال‌های گرمایی، شیستشوی بلورهای مونازیت و زنوتایم و تشکیل بلورهای آلانیت در کنار کانی‌های سیلیکاتی [۱۳، ۱۶]. همه این موارد برای کانسار اسفوردی صدق کرده و بنابراین در مرحله برشی‌شدگی محلول‌های گرمایی طی شیستشوی انواع نسل اول و دوم آپاتیت، منجر به تحلیل ادخال‌های مونازیت نسل اول نیز شده است. چنین سیالی در بردارنده منبع عظیمی از عناصر خاکی نادر سبک و سنگین تشکیل کانه‌های مونازیت (نسل دوم) در مجاری خالی و بصورت بین بلوری بوده است.

مونازیت‌ها به سبب رشد بلوری در میزان آپاتیت و دریافت عناصر مورد نیاز از شبکه بلوری این کانی، سرانجام ترکیبی را منعکس می‌سازند که مشابه ترکیب اولیه کانی میزان بوده و الگوی فراوانی عناصر خاکی نادر آن نیز شبیه الگوی اولیه کانی میزان است [۱۲]. بنابراین، ترکیب آپاتیت‌ها از نظر در برداشت عناصر اکتینید نیز اهمیت دارد. در طبیعت، فراوانی عناصر توریوم و اورانیوم در فلوئورآپاتیت‌ها کمتر از ۱۰۰ ppm بوده و بنابراین نسبت U/Th در آن‌ها بیشتر از یک است. در نتیجه مونازیت‌های تشکیل شده از این آپاتیت‌ها دارای مقادیر Th کمتر از یک درصد وزنی و U کمتر از  $0.3\%$  درصد وزنی است [۱۱]. این امر نیز سبب تفکیک مونازیت‌های رشد یافته از میزان آپاتیتی با انواع وابسته به سنگ‌های دگرگونی و ماگمایی (با دارا بودن بیش از ۳ درصد وزنی Th) می‌شود. در هیدروکسی‌فلوئورآپاتیت‌های اسفوردی، مقدار Th و U به ترتیب برابر با ۱۰.۷ و ۱۶.۸ ppm بوده و نسبت U/Th در آن ۶/۳۷ است و براساس قاعده بیان شده، این بیانگر ارتباط رشد مونازیت‌ها از سطوح بلوری آپاتیت‌ها در فرآیندهای دگرسانی گرمایی هستند.

#### برداشت

چنان که از نمودار عنکبوتی شکل ۱۰ برداشت می‌شود، الگوی غنی‌شدگی عناصر خاکی نادر سبک در مونازیت‌های نسل اول (انواع ادخال در آپاتیت) از الگوی این عناصر در آپاتیت (از نوع نسل دوم) پیروی کرده است. میزان تهی‌شدگی از عنصر سریوم (Ce) در آپاتیت‌ها به طور هماهنگ و معناداری با غنی‌شدگی و انباشتگی آن در ادخال‌های مونازیت همخوانی دارد که نشانگر تفکیک‌پذیری بیشتر این عنصر از شبکه آپاتیت و ورود آن به درون ادخال‌های مونازیت است. غنی‌شدگی نسبی از عنصر گادولینیوم (Gd) در دو کانه آپاتیت و مونازیت نیز نشان می‌دهد که مقدار ذخیره عنصر گادولینیوم در آپاتیت جهت تغییط و ورود به شبکه ساختاری مونازیت به حد کافی بوده است. با توجه به شکل ۱۰ [۱۴، ۱۵]، میزان اختلاف در غلظت عناصر خاکی نادر سبک کمترین بوده و در عناصر خاکی نادر متوسط و سنگین به ترتیب افزایش یافته است. اختلاف بسیار در غلظت عناصر خاکی نادر سنگین و عدم تغییط آن‌ها در کانه مونازیت



شکل ۱۰ نمودار عنکبوتی مقادیر عناصر خاکی نادر بهنجار شده در کانه‌های آپاتیت و مونازیت‌های نسل اول و دوم (داده‌های مربوط به کانه مونازیت برگرفته از مرجع [۱۴] بوده و برای بهنجارسازی مقادیر، از داده‌های مرجع [۱۵] استفاده شده است). در این نمودار، پهنه‌ای نوارهای سبز و صورتی بیانگر میزان تغییرات در غلظت هریک از عناصر خاکی نادر است. هرچه غلظت عناصر مختلف مونازیت به هم نزدیک باشد، پهنه‌ای نوار و میزان تغییرات کمتر بوده و هر چه پهنه‌ای نوار افزایش یافته اختلاف در غلظت عناصر بیشتر بوده است.

southern Iran", Miner Deposita 47, (2012) , 911–931.

[5] Ramezani J., Tucker R.D., "The Saghand region, central Iran: UPb geochronology, petrogenesis and implications for Gondwana tectonics", American Journal of Science, v. 303,(2003), p. 622–665.

[6] Torab F.M., Lehmann B., "Magnetite-apatite deposits of the Bafq district, Central Iran: apatite geochemistry and monazite geochronology ", Mineralogical magazine; Vol.71(3); (2007), pp.347-363.

[7] Torab F.M, "Geochemistry and metallogeny of magnetite-apatite deposits of the Bafq mining district, central Iran", PhD thesis, Technical university of Clausthal (2008) 131p.

[8] Iranmanesh S., "Investigation on REE distribution pattern and study of rare earth minerals at Esfordi magnetite-apatite deposit, Bafq area, Yazd province", Master thesis, Reaserch

#### مراجع

- [1] Elliott JC, Wilson RM, Dawker SEP, "Apatite structure, JCPDS international center for diffraction data", Advances in X-ray analysis, (2002), Vol.45.
- [2] Roeder P.L, Mac Arthur D, Ma X.P, Palmer G.R, Mariano A.N, "Cathodoluminescence and microprobe study of rare earth elements in apatite", American mineralogist, (1987), 72:801-811.
- [3] Harlov D.E., Förster H.-J., Schmidt C., "High P-T experimental metasomatism of a fluorapatite with significant britholite and fluorellestadite components: Implications for LREE mobility during granulite-facies metamorphism", Mineralogical Magazine, (2003), 67, 61–72.
- [4] Mousivand F., Rastad E., Meffre S., Peter JM., Mohajjal M., Zaw K., Emami MH., "Age and tectonic setting of the Bavanat Cu-Zn-Ag Besshi-type volcanogenic massive sulfide deposit,

- monazite”, Contrib mineral petrol, (2005) 150 p; 268-286.*
- [13] Harlov D.E, “*Apatite: A fingerprint for metasomatic processes*”, Elements magazine, (2015) 11: 171-176.
- [14] Jami M., “*Geology, Geochemistry and evolution of the Esfordi phosphate-iron deposit, Bafq area, central Iran*”, PhD thesis, University of New South Wales, (2005) 355 p.
- [15] McDonough WF., Sun SS., “*The composition of the earth*”, Chem Geol, (1995) 120: 223–253.
- [16] Jonsson E., Nilsson KP., Hallberg A., Högdahl K., “*Palaeoproterozoic apatite-iron oxide deposits of the Grängesberg area: Kiruna-type deposits in central Sweden*”, In: Nakrem HA, Harstad, AO, Haukdal G (eds.), NGF abstracts and proceedings,(2010) 1: 88-89.
- institute for earth science, geological survey of Iran, (2014), 195p.
- [9] Torab F.M, Lehmann B, “*Magnetite-apatite deposits of the Bafq district, Central Iran: apatite geochemistry and monazite geochronology*”, Mineralogical magazine (2007) Vol.71(3); pp.347-363.
- [10] Boomeri M., “*Rare earth minerals in Esfordi magnetite-apatite, Bafq district*”, Geoscience scientific quarterly journal, Vol.85 (2012), pp. 71-82.
- [11] Harlov D.E, Förster H.J, “*Unraveling the history of high-grade rocks: what apatite may tell us?*”, journal of the Czech geological society, (2003) p.59-60.
- [12] Harlov D.E, Wirth R, Förster H.J, “*An experimental study of dissolution reprecipitation in fluorapatite: fluid infiltration and the formation of*